

буждения параметрических колебаний различной формы. При этом условия возбуждения определяются не только соотношениями между параметрами контура и частотой их модуляции [3], но и соотношениями между этими параметрами и длительностями их пребывания в стационарных состояниях.

СПИСОК ЛИТЕРАТУРЫ

- [1] Мигулин В. В. и др. Основы теории колебаний. М.: Наука, 1978.
 [2] Каплан А. Е., Кравцов Ю. А., Рылов В. А. Параметрические генераторы и делители частоты. М.: Сов. радио, 1966. [3] Манделштам Л. И. Полное собрание трудов. Т. 2. М.: Изд-во АН СССР, 1947, с. 90.

Поступила в редакцию
26.01.83

ВЕСТН. МОСК. УН-ТА. СЕР. 3. ФИЗИКА. АСТРОНОМИЯ, 1984, т. 25, № 1

УДК 621.373.7

ИССЛЕДОВАНИЕ ОБЛАСТЕЙ ВОЗБУЖДЕНИЯ КОЛЕБАНИЙ В КОНТУРЕ СО СКАЧКООБРАЗНОЙ МОДУЛЯЦИЕЙ ЕМКОСТИ

В. П. Комолов, Д. А. Тищенко, П. Н. Шашков

(кафедра радиопрофики СВЧ)

Известно, что скачкообразный закон изменения емкости C колебательного контура при заданной глубине модуляции $m = (C_{\max} - C_{\min}) / (C_{\max} + C_{\min})$ является оптимальным в смысле внесения энергии в контур [1]. При такой модуляции емкость принимает значения $C_{\alpha} = C_{\max}$ на интервалах времени T_{α} и $C_{\beta} = C_{\min}$ на интервалах T_{β} . Период модуляции $T_M = T_{\alpha} + T_{\beta}$. Области возбуждения колебаний в случае малой глубины модуляции ($m \ll 1$) и симметричного модулирующего воздействия ($T_{\alpha} = T_{\beta}$) рассмотрены в [2] и близки к областям неустойчивости решений уравнения Матье [3]. Однако с увеличением m экспериментально наблюдается расщепление областей возбуждения, причем при фиксированном m возбуждение зависит не только от частоты модуляции, но и от соотношения между T_{α} и T_{β} .

Экспериментальное исследование проводилось на балансном параметрическом контуре с прямоугольной видеоимпульсной накачкой. Собственная частота контура на интервалах времени T_{α} оставалась постоянной: $f_{\alpha} = 200$ кГц, а на интервалах T_{β} принимала значения $f_{\beta} = 200 \div 400$ кГц в зависимости от глубины модуляции емкости $m = 0 \div 0,6$. Время переключения емкости не превышало 3 нс, т. е. $\sim 10^{-4}$ периода колебаний на верхней частоте; такую модуляцию емкости можно считать скачкообразной.

Рассмотрим области возбуждения для $m < 1^*$. Уравнение для заряда q в контуре со скачкообразной модуляцией емкости имеет вид

$$\ddot{q} + 2\delta\dot{q} + \omega_0^2(t)q = 0, \quad (1)$$

где $\delta = R/(2L)$, $\omega_0^2(t)$ — периодическая функция, принимающая значения $\omega_{0\alpha}^2 = (LC_{\alpha})^{-1}$ на интервалах времени T_{α} и $\omega_{0\beta}^2 = (LC_{\beta})^{-1}$ на интервалах T_{β} ; L , R — индуктивность и сопротивление контура соответственно. Подстановкой $q = x \exp(-\delta t)$ уравнение (1) преобразуется к уравнению Хилла:

$$\ddot{x} + \omega^2(t)x = 0, \quad (2)$$

* При $m \geq 1$ величина емкости выходит из области положительных значений.

где $\omega^2(t)$ принимает значения $\omega_\alpha^2 = \omega_{0\alpha}^2 - \delta^2$, $\omega_\beta^2 = \omega_{0\beta}^2 - \delta^2$ на интервалах T_α и T_β соответственно. Решение уравнения (2) можно представить, согласно Флоке [4], в виде

$$x = a\chi(t) \exp(ht) + b\chi(-t) \exp(-ht), \quad (3)$$

где $\chi(t)$ — ограниченная функция с периодом T_M , h — характеристический показатель уравнения (2), a, b — константы. Из (3) следует, что решение исходного уравнения (1) при $|\operatorname{Re} h| > \delta$ будет неустойчивым (с возрастающей амплитудой), при $|\operatorname{Re} h| < \delta$ — затухающим. Границы областей возбуждения определяются условием $|\operatorname{Re} h| = \delta$. Воспользовавшись методом нахождения характеристических показателей уравнения Хилла со скачкообразной модуляцией параметров, предложенным Мейснером [5], для $Y = \exp(hT_M)$ получим уравнение

$$Y^2 - 2YP + 1 = 0, \quad (4)$$

где

$$P = \cos \omega_\alpha T_\alpha \cos \omega_\beta T_\beta - \frac{1}{2} \left(\frac{\omega_\alpha}{\omega_\beta} + \frac{\omega_\beta}{\omega_\alpha} \right) \sin \omega_\alpha T_\alpha \sin \omega_\beta T_\beta.$$

Так как $\exp(\delta T_M) \gg 1$, то в областях неустойчивости и на их границах корни уравнения (4) будут действительными. Подстановкой $Y = \exp(\pm \delta T_M)$ в (4) получим соотношение, определяющее границы областей возбуждения:

$$P = \pm \operatorname{ch} \delta T_M. \quad (5)$$

На рис. 1 показаны граничные поверхности для реального контура с $\delta = 3 \cdot 10^4 \text{ с}^{-1}$, построенные в соответствии с соотношением (5) в координатах $\theta_\alpha, \theta_\beta, m$, где $\theta_\alpha = \omega_\alpha T_\alpha, \theta_\beta = \omega_\beta T_\beta$ — фазовые набеги колебаний на интервалах времени T_α и T_β соответственно. Сечение полученной фигуры плоскостью $m = \text{const}$ определяет все возможные области возбуждения при заданной глубине модуляции. Так, для $m = 0,07$ их число равно 6. На рис. 2, а показаны теоретические границы областей возбуждения при отсутствии затухания для $m = 0,07$, для этого же значения m на рис. 2, б показаны области возбуждения, полученные экспериментально при $\delta = 3 \cdot 10^4 \text{ с}^{-1}$. Как видно из рис. 1, с ростом m области возбуждения расширяются и число их увеличивается. При $m = 0,6$ экспериментально наблюдалось 65 областей, расположенных вдоль прямых

$$\theta_\alpha + \theta_\beta = n\pi, \quad (6)$$

где $n = 1, 2, 3, \dots$ Для четных n эти области ограничены поверхностями $P = \operatorname{ch}(\delta T_M)$, для нечетных n — поверхностями $P = -\operatorname{ch}(\delta T_M)$.

При отсутствии затухания вдоль каждой прямой (6) расположено n соприкасающихся областей, которые образуют непрерывную зону генерации. Заметим, что при $\delta = 0$ соотношение для границ областей $P = \pm 1$ в случае $T_\alpha = T_\beta$ переходит в соотношение Ван-дер-Поля и Стретта [6], полученное для консервативной системы с симметричной модуляцией:

$$\cos \theta_\alpha \cos \theta_\beta - \frac{1}{2} \left(\frac{\theta_\alpha}{\theta_\beta} + \frac{\theta_\beta}{\theta_\alpha} \right) \sin \theta_\alpha \sin \theta_\beta = \pm 1. \quad (7)$$

При любой заданной скважности, т. е. при любом отношении $S = T_\beta/T_\alpha$, области возбуждения лежат в сечении фигуры, построенной в соответствии с соотношением (5), с поверхностью $S = \text{const}$. Пересечение этой поверхности с любой плоскостью $m = \text{const}$ представляет собой прямую (см. рис. 2): $\theta_\beta = S(1+m)^{1/2}(1-m)^{1/2}\theta_\alpha$. При увеличении

m эта прямая осуществляет поворот к оси θ_β . При $m=0$ $\theta_\beta = S\theta_\alpha$. На рис. 3 в координатах $\lambda = (\theta_\alpha + \theta_\beta)/\pi$, m показаны области возбуждения контура с $\delta = 3 \cdot 10^4 \text{ с}^{-1}$ для $S=1$; 0,25 (а, б) и контура без затухания для $S=0,25$ (в). Введение переменной λ удобно потому, что ее можно рассматривать как отношение эквивалентной частоты $\omega_{\text{экв}} = (\theta_\alpha + \theta_\beta)/T_M$, на которой за период модуляции создается набег фазы, равный сумме фазовых набегов на интервалах T_α и T_β , к субгармоничке частоты модуляции $\rho_M = 2\pi/T_M$, т. е. $\lambda = 2\omega_{\text{экв}}/\rho_M$.

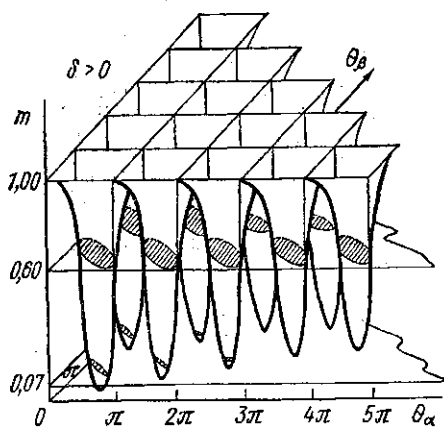


Рис. 1

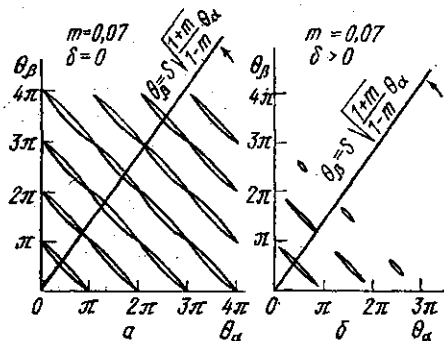


Рис. 2

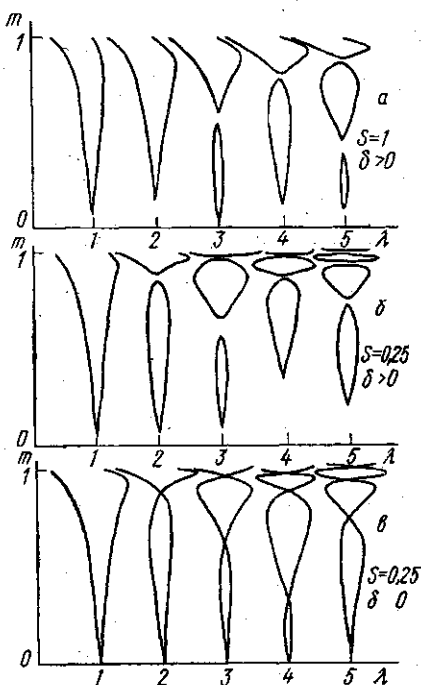


Рис. 3

Из рис. 3 видно, что зоны возбуждения могут расщепляться на дискретные области, число которых не превышает номера зоны n и зависит от S . То есть расщепляются только зоны с номером $n > S + 1$, при этом в случае $n < S^{-1} + 1$ число областей в расщепленной зоне будет максимальным и равным n , если это допускает малость затухания контура (см. рис. 3, а, б). При отсутствии затухания области, составляющие каждую n -ю зону, соприкасаются в точках с координатами (см. рис. 3, в)

$$\lambda = n, \quad m = [(n-i)^2 - S^2 i^2] [(n-i)^2 + S^2 i^2]^{-1},$$

где $i = 1, 2, \dots, [n/(1+S)]$.

Теоретические результаты, представленные на рис. 1, 2, а, 3 были получены с помощью ЭВМ БЭСМ-6. Границы областей, полученные экспериментально для значений $m = 0 \div 0,5$, в масштабе приведенных рисунков практически совпадают с теоретическими границами, что указывает на хорошее соответствие выбранной математической модели

и реальной системы. В экспериментальном контуре в качестве управляемой емкости использовались как варикапы КВС-111А, так и МДП-варикапы. Полученные результаты представляют практический интерес для разработки новых методов приема и формирования радиосигналов.

В заключение авторы приносят глубокую благодарность К. К. Лихареву за обсуждение работы и ценные замечания.

СПИСОК ЛИТЕРАТУРЫ

- [1] Мигулин В. В. и др. Основы теории колебаний. М.: Наука, 1978.
 [2] Стрелков С. П. Введение в теорию колебаний. М.: Наука, 1964. [3] Мак-Лахан Н. В. Теория и приложения функций Матье. М.: ИЛ, 1953. [4] Андронов А. А. Собрание трудов. М.: Изд-во АН СССР, 1968, с. 21. [5] Стретт М. Д. Функции Ляме, Матье и родственные им в физике и технике. Харьков—Киев, 1935. [6] Бриллюэн Л., Пароди М. Распространение волн в периодических структурах. М.: ИЛ, 1959.

Поступила в редакцию
09.06.83

ВЕСТН. МОСК. УН-ТА. СЕР. 3. ФИЗИКА. АСТРОНОМИЯ, 1984, т. 25, № 1

УДК 551.482.212:551.465

МАТЕМАТИЧЕСКАЯ МОДЕЛЬ ПРОФИЛЯ СРЕДНЕЙ СКОРОСТИ ПРИДОННОГО ПЛОТНОСТНОГО ТЕЧЕНИЯ

А. Ю. Пыркин

(кафедра физики моря и вод суши)

Целью данной работы является построение профиля средней скорости придонного плотностного потока [1, 2]. Рассматривается двумерное стационарное придонное плотностное течение, распространяющееся вдоль наклонного дна. Расположение осей координат показано на рис. 1. Согласно экспериментальным данным, длина области распространения придонного плотностного потока значительно превосходит его толщину [3]. Следовательно, в данном случае можно считать справедливыми допущения теории пограничного слоя [4]. Тогда, используя гипотезу Буссинеска [4], можно записать следующие уравнения для расчета вертикального распределения средней скорости в исследуемом течении:

$$u \frac{\partial u}{\partial x} + w \frac{\partial u}{\partial z} = \frac{g i \Delta \rho}{\rho} + \frac{1}{\rho} \frac{\partial}{\partial z} \mu \frac{\partial u}{\partial z}, \quad (1)$$

$$\frac{\partial (\rho u)}{\partial x} + \frac{\partial (\rho w)}{\partial z} = 0, \quad (2)$$

где u и w — продольная и вертикальная составляющие средней скорости течения, g — ускорение силы тяжести, i — уклон дна, ρ — плотность воды, $\Delta \rho$ — разность плотностей воды в придонном плотностном потоке и в вышележащих слоях, μ — коэффициент турбулентной вязкости.

Граничные условия для системы (1) — (2) имеют вид

$$u(0, x) = 0, \quad w(0, x) = 0, \quad (3)$$

$$u(z_y, x) = 0, \quad w(z_y, x) = 0, \quad (4)$$

где z_y — горизонт, соответствующий верхней границе слоя увлечения «чистой» воды. Справедливость условий (4) вытекает из имеющихся экспериментальных данных [1, 2].